

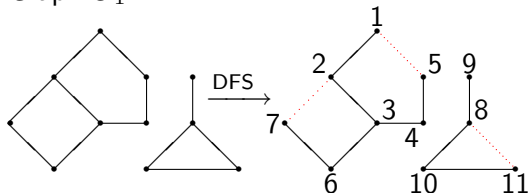
## 6.4 Transitive Hülle und DFS

Wir erinnern uns an den DFS-Algorithmus:

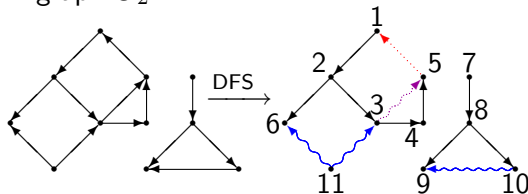
```
for all nodes  $v$  do unmark  $v$  od  
 $count := 0$   
while  $\exists$  unvisited  $v$  do  
   $r :=$  pick (random) unvisited node  
  push  $r$  onto stack  
  while stack  $\neq \emptyset$  do  
     $v :=$  pop top element  
    if  $v$  unvisited then  
      mark  $v$  visited  
      push all neighbours of  $v$  onto stack  
       $num[v] := ++count$   
    fi  
  od  
od
```

## Beispiel 117

Graph  $G_1$ :



Digraph  $G_2$ :

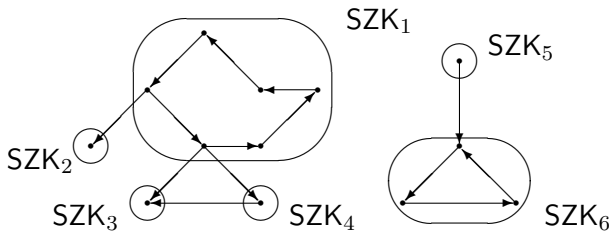


Bezeichnungen:

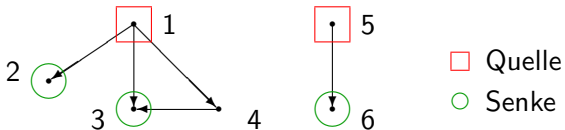
- ▶ Baumkante
- ⋯▶ Rückwärtskante
- ⋈▶ Querkante
- - -▶ Vorwärtskante

**Bem.:** Alle Baumkanten zusammen: DFS-Wald (Spannwald).

## Beispiel 118 (Starke Zusammenhangskomponenten (in Digraphen))



Schrumpfen  $\Downarrow$  der SZK's  
DAG (**D**irected **A**cyclic **G**raph)



DFS in ungerichteten Graphen mit  $c$

Zusammenhangskomponenten,  $n$  Knoten,  $m$  Kanten:

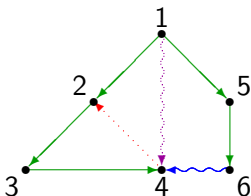
$n - c$  Baumkanten,  $m - n + c$  Rückwärtskanten, Zeitaufwand

$\mathcal{O}(n + m)$



$$\mathbf{A}^* \begin{array}{c} \text{ZK}_1 \\ \text{ZK}_2 \end{array} \left( \begin{array}{cc|cc} & & \text{ZK}_1 & \text{ZK}_2 \\ \hline \text{ZK}_1 & \begin{array}{|cccc|} \hline 1 & 1 & 1 & 1 \\ 1 & & 1 & \\ 1 & & & 1 \\ 1 & 1 & 1 & 1 \\ \hline \end{array} & & 0 \\ \text{ZK}_2 & & & \begin{array}{|c|} \hline \square \\ \hline \end{array} \\ & 0 & & \begin{array}{|c|} \hline \square \\ \hline \end{array} \end{array} \right)$$

$A^*$  aus DFS mit Aufwand  $\Theta(n^2)$

DFS in gerichteten Graphen (Digraphen) mit  $n$  Knoten,  $m$  Kanten:  
Baum-, Vorwärts-, Rückwärts- und Querkanten:



Bezeichnungen:

-  Baumkanten
-  Rückwärtskanten
-  Querkanten
-  Vorwärtskanten

**Zeitaufwand:**  $\mathcal{O}(n + m)$

$u$  ist von  $v$  aus auf einem gerichteten Pfad erreichbar gdw  $u$  Knoten in dem DFS-Baum (DFS-visit( $v$ )) mit Wurzel  $v$  ist.

**Also:** Transitive Hülle in Zeit  $\mathcal{O}(n \cdot (m + n))$ . Sehr gut für **dünne** Graphen.

## 7. Ein besserer Algorithmus für das apsd-Problem in ungewichteten Digraphen

Sei  $G = (V, E)$  ein Digraph mit der Knotenmenge  $\{0, \dots, n-1\}$ , dessen Kanten alle die Länge 1 haben.

Sei  $D = (d_{ij})_{0 \leq i, j < n}$  die zugehörige Distanzmatrix, mit Einträgen  $d_{ij} \in \{0, 1, \infty\}$ .

Entsprechend sei  $D^*$  die Distanzmatrix, so dass

$$d_{ij}^* = \text{Länge eines kürzesten Wegs zwischen } i \text{ und } j$$

Setze weiterhin

$$D^{(l)} = (d_{ij}^{(l)})_{0 \leq i, j < n} \text{ mit } d_{ij}^{(l)} = \begin{cases} d_{ij}^* & \text{falls } d_{ij}^* \leq l \\ \infty & \text{sonst} \end{cases}$$

## Algorithmus a1

**co** Sei  $A = (a_{ij})_{0 \leq i, j < n}$  mit  $a_{ij} = \begin{cases} 1 & \text{falls } d_{ij} \leq 1 \\ 0 & \text{sonst} \end{cases}$  **oc**

$B := I$  **co** boolesche Einheitsmatrix **oc**

**for**  $l := 2$  **to**  $r + 1$  **do**

$B := A \cdot B$

**for**  $0 \leq i, j < n$  **do**

**if**  $b_{ij} = 1$  **then**  $d_{ij}^{(l)} := l$  **else**  $d_{ij}^{(l)} := \infty$  **fi**

**if**  $d_{ij}^{(l-1)} \leq l$  **then**  $d_{ij}^{(l)} := d_{ij}^{(l-1)}$  **fi**

**od**

**od**

Dieser Algorithmus berechnet  $D^{(1)} = D, D^{(2)}, D^{(3)}, \dots, D^{(r)}$ .

Sei  $\omega$  eine Zahl  $\geq 2$ , so dass die Matrixmultiplikation in Zeit  $\mathcal{O}(n^\omega)$  durchgeführt werden kann (Winograd/Coppersmith:  $\omega \leq 2,376$ ).

**Zeitaufwand für Algorithmus a1:**  $\boxed{\mathcal{O}(rn^\omega)}$



## Algorithmus apsd =

Berechne, mit Algorithmus a1,  $D^{(l)}$  für  $l = 1, \dots, r$ ;  $l := r$

**for**  $s := 1$  **to**  $\left\lceil \log_{\frac{3}{2}} \frac{n}{r} \right\rceil$  **do**

**for**  $i := 0$  **to**  $n - 1$  **do**

        finde in Zeile  $i$  von  $D^{(l)}$  das  $d$ ,  $\left\lceil \frac{l}{2} \right\rceil \leq d \leq l$ , das in dieser Zeile am wenigsten oft vorkommt

$S_i :=$  Menge der zugehörigen Spaltenindizes

**od**

$l_1 := \left\lceil \frac{3}{2} l \right\rceil$

**for**  $0 \leq i, j < n$  **do**

$m_{ij} :=$  **if**  $S_i \neq \emptyset$  **then**  $\min_{k \in S_i} \{d_{ik}^{(l)} + d_{kj}^{(l)}\}$  **else**  $\infty$  **fi**

**if**  $d_{ij}^{(l)} \leq l$  **then**  $d_{ij}^{(l_1)} := d_{ij}^{(l)}$

**elif**  $m_{ij} \leq l_1$  **then**  $d_{ij}^{(l_1)} = m_{ij}$  **else**  $d_{ij}^{(l_1)} := \infty$  **fi**

**od**

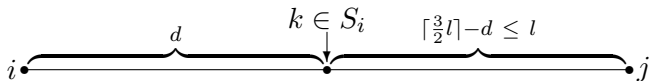
$l := l_1$

**od**

apspd berechnet

zunächst  $D^{(1)}, \dots, D^{(r)}$ , dann  $D^{(l)}$  für

$$l = r, \left\lceil \frac{3}{2}r \right\rceil, \left\lceil \frac{3}{2} \left\lceil \frac{3}{2}r \right\rceil \right\rceil, \dots, \underbrace{n'}_{\geq n}$$



Da für  $d \frac{l}{2}$  Werte zur Auswahl stehen, gilt:

$$|S_i| \leq \frac{2n}{l}$$

Damit ist die Laufzeit

$$\mathcal{O} \left( rn^\omega + \sum_{s=1}^{\left\lceil \log_{\frac{3}{2}} \frac{n}{r} \right\rceil} \frac{n^3}{\left(\frac{3}{2}\right)^s \cdot r} \right) = \mathcal{O} \left( rn^\omega + \frac{n^3}{r} \right)$$

Setze  $r$  so, dass die beiden Summanden gleich sind, also  $r = n^{\frac{3-\omega}{2}}$ .  
Damit ergibt sich für apsd die Laufzeit  $\mathcal{O} \left( n^{\frac{3+\omega}{2}} \right)$ .

### Satz 119

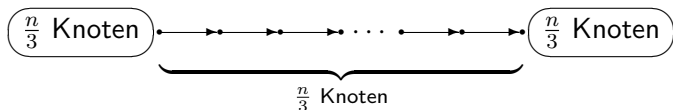
*Das all-pairs-shortest-distance-Problem für Digraphen mit Kantenlänge = 1 lässt sich in Zeit  $\mathcal{O}(n^{\frac{3+\omega}{2}})$  lösen ( $\omega$  Exponent für Matrixmultiplikation).*

Beweis:

✓

□

**Bemerkung:** Beim apsp kann die Größe der Ausgabe  $\Omega(n^3)$  sein:



Verwende stattdessen die **kürzeste-Pfade-Nachfolger-Matrix**  $N \in [0, \dots, n-1]^{n \times n}$ , wo  $n_{ij}$  die Nummer des **zweiten** Knoten auf „dem“ kürzesten Pfad von Knoten  $i$  zu Knoten  $j$  ist. Eine solche Matrixdarstellung für die kürzesten Pfade zwischen allen Knotenpaaren kann in Zeit  $\mathcal{O}(n^{\frac{3+\omega}{2}} \cdot \log^c n)$  (für ein geeignetes  $c > 0$ ) bestimmt werden.

## Satz 120

Für Digraphen mit Kantenlängen  $\in \{1, 2, \dots, M\}$ ,  $M \in \mathbb{N}$ , kann APSD in Zeit  $\mathcal{O}((Mn)^{\frac{3+\omega}{2}})$  gelöst werden.

Beweis:

Idee: Ersetze  $u \xrightarrow{M' \leq M} v$  durch:

$u = u_0 \rightarrow u_1 \rightarrow u_2 \cdots \rightarrow u_{M'} = v$



## 8. Ein Algorithmus für die transitive Hülle in Digraphen mit linearer erwarteter Laufzeit

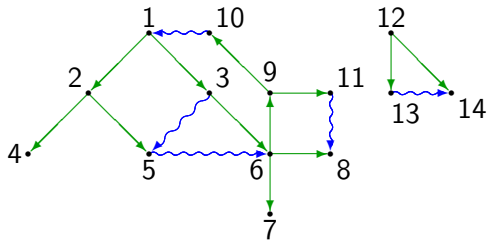
Wir nehmen an, dass die Wahrscheinlichkeit eines Digraphen mit  $n$  Knoten und  $m$  Kanten (nur) eine Funktion von  $n$  und  $m$  ist. Daraus folgt (wir lassen der Einfachheit halber Schleifen (= Kanten  $v \rightarrow v$ ) zu), dass jede Kante  $(u, v)$  mit Wahrscheinlichkeit  $\frac{m}{n^2}$  vorhanden ist, falls wir Digraphen mit  $n$  Knoten und  $m$  Kanten betrachten.

**Erinnerung:** Breitensuche (BFS): Schlange, queue, FIFO:



Durchlaufe Graphen, indem wir, solange möglich, den vordersten Knoten  $v$  aus der Queue nehmen, ihn behandeln und die Liste seiner noch nicht behandelten Nachbarn in die Queue hinten einfügen.

## Beispiel 121



Bezeichnungen:

—→ Baumkanten  
~→ Querkanten

## algorithm exp-lin-transitive-closure

0. Konstruiere die linear geordneten Adjazenzlisten  $L_i^r$ ,  $i = 1, \dots, n$  des Graphen  $G^r$  (entsteht aus  $G$  durch Umkehrung aller Kanten).

Beispiel:

$$\begin{array}{l} L_1 = 4 \ 1 \ 2 \\ L_2 = 1 \ 4 \ 3 \\ L_3 = 3 \ 2 \\ L_4 = 1 \ 4 \ 2 \end{array} \left| \begin{array}{l} L_1^r = 1 \ 2 \ 4 \\ L_2^r = 1 \ 3 \ 4 \\ L_3^r = 2 \ 3 \\ L_4^r = 1 \ 2 \ 4 \end{array} \right.$$

Ersetze ebenfalls alle  $L_i$  durch  $L_i^{rr}$  ( $\rightarrow$  sortierte Adjazenzlisten)



1. Berechne für jeden Knoten  $i$  in BFS-Art eine Liste  $S_i$  von von  $i$  aus erreichbaren Knoten, so dass (i) oder (ii) gilt:
  - (i)  $|S_i| < \lfloor \frac{n}{2} \rfloor + 1$  und  $S_i$  enthält alle von  $i$  aus erreichbaren Knoten
  - (ii)  $|S_i| = \lfloor \frac{n}{2} \rfloor + 1$
2. Entsprechende Listen  $P_i$  von Vorgängern von  $i$
3. **for**  $i := 1$  **to**  $n$  **do**  
 $L_i^* := S_i \cup \{j; i \in P_j\} \cup \{j; |S_i| = |P_j| = \lfloor \frac{n}{2} \rfloor + 1\}$   
**od**  
 Bilde  $(L_i^*)^{rr}$  für  $i = 1, \dots, n$

**Korrektheit:**  $j \in L_i^*$  gdw  $(i, j)$  in transitiver Hülle.

## Satz 122

*Sei die Wahrscheinlichkeit eines Graphen (lediglich) eine Funktion der Anzahl  $n$  seiner Knoten und der Anzahl  $m$  seiner Kanten. Dann ist der Erwartungswert für die Laufzeit des obigen Algorithmus von Schnorr  $\mathcal{O}(n + m^*)$ . Dabei ist  $m^*$  der Erwartungswert für die Anzahl der Kanten in der transitiven Hülle.*

## Beweis:

Das Durchlaufen des Graphen (von  $v_1$  aus für die Konstruktion von  $S_1$ ) in BFS-Manier liefert eine Folge  $(a_t)_{t \geq 1}$  von Knoten. Sei  $L_{\sigma(\nu)}$  die  $\nu$ -te Adjazenzliste, die in der BFS erkundet wird,

$$L_{\sigma(\nu)} = (a_t; h(\nu) < t \leq h(\nu + 1))$$

Sei  $\Delta L_{\sigma(\nu)}$  die Menge der  $a_t$  in  $L_{\sigma(\nu)}$ , und sei

$$S_i(t) := \{a_1, a_2, \dots, a_t\}.$$

Wie bereits gezeigt, ist

$$\Pr[j \in L_i] = \frac{m}{n^2}, \quad \forall i, j$$

## Beweis (Forts.):

Alle  $n$ -Tupel von geordneten Listen  $L_1, L_2, \dots, L_n$  mit

$$m = \sum_{i=1}^n |L_i|$$

sind aufgrund der Voraussetzungen über die Wahrscheinlichkeitsverteilung gleich wahrscheinlich. Also:

**Beobachtung 1:** Die Mengen  $\Delta L_{\sigma(\nu)}$ ,  $\nu = 1, 2, \dots$  sind (paarweise) unabhängig.

**Beobachtung 2:** Die  $\Delta L_{\sigma(\nu)}$  sind gleichverteilt, d.h. für alle  $A \subseteq \{1, \dots, n\}$  gilt:

$$\Pr[\Delta L_{\sigma(\nu)} = A] = \left(\frac{m}{n^2}\right)^{|A|} \left(1 - \frac{m}{n^2}\right)^{n-|A|}$$

Beweis (Forts.):

### Lemma 123

Sei  $A \subseteq \{1, \dots, n\}$  mit  $|A| = k$ . Sei  $(\bar{a}_t)_{t \geq 1}$  eine Folge von unabhängigen gleichverteilten Zufallsvariablen mit Wertemenge  $\{1, \dots, n\}$ . Dann gilt:

$$\min\{t; \bar{a}_t \notin A\} \text{ hat Erwartungswert } 1 + \frac{k}{n - k}.$$

## Beweis:

[des Lemmas]  $\Pr[\bar{a}_1, \dots, \bar{a}_r \in A \text{ und } \bar{a}_{r+1} \notin A] = \left(\frac{k}{n}\right)^r \cdot \left(1 - \frac{k}{n}\right)$ .

Also ist der Erwartungswert für  $\min\{t; \bar{a}_t \notin A\}$ :

$$\begin{aligned} 1 + \sum_{r=0}^{\infty} r \left(\frac{k}{n}\right)^r \left(1 - \frac{k}{n}\right) &= 1 + \frac{k}{n} \left(1 - \frac{k}{n}\right) \sum_{r \geq 1} r \left(\frac{k}{n}\right)^{r-1} \\ &= 1 + \frac{k}{n} \left(1 - \frac{k}{n}\right) \frac{1}{\left(1 - \frac{k}{n}\right)^2} \\ &= 1 + \frac{\frac{k}{n}}{1 - \frac{k}{n}} = 1 + \frac{k}{n - k}. \end{aligned}$$



## Anmerkung:

$$\sum_{r=0}^{\infty} r z^{r-1} = \frac{d}{dz} \frac{1}{1-z} = \frac{1}{(1-z)^2}$$

## Lemma 124

Sei  $(\bar{a}_t)_{t \geq 1}$  wie oben,  $k \leq \frac{n}{2}$ . Dann hat  $\min\{t; |\bar{a}_1, \bar{a}_2, \dots, \bar{a}_t| > k\}$  Erwartungswert  $\leq \frac{3}{2}(k+1)$ .

### Beweis:

[des Lemmas] Wegen der Additivität des Erwartungswertes gilt:  
Der gesuchte Erwartungswert ist

$$\begin{aligned} &\leq \sum_{\nu=0}^k \left(1 + \frac{\nu}{n - \nu}\right) \\ &\leq k + 1 + \sum_{\nu=1}^k \frac{\nu}{\frac{n}{2}} \\ &\leq k + 1 + \frac{k(k+1)}{n} \leq \frac{3}{2}(k+1). \end{aligned}$$



## Beweis (Forts.):

Wenn wir jedes  $L_{\sigma(\nu)}$  in sich zufällig permutieren, erhalten wir eine Folge  $(\bar{a}_t)'_{t \geq 1}$  von Zufallsvariablen, so dass

$$|\{a_1, \dots, a_t\}| = |\{a'_1, \dots, a'_t\}| \text{ für } t = h(\nu), \quad \forall \nu$$

Da die  $a'_t$  innerhalb eines jeden Intervalls  $h(\nu) < t \leq h(\nu + 1)$  paarweise verschieden sind, gilt für sie die vorhergehende Abschätzung erst recht. Daher sind  $(|S_1(t)|)_{t \geq 1}$  und  $(|S_1(t)'|)_{t \geq 1}$  gleichverteilte Folgen von Zufallsvariablen, denn dies gilt zunächst für alle Zeitpunkte der Form  $t = h(y)$ ; da aber für diese Zeitpunkte  $S_1(t) = S_1'(t)$  ist und  $h(\cdot)$  zufällig verteilt ist, ist auch die Verteilung der beiden Folgen zwischen diesen Intervallgrenzen identisch.



## Beweis (Forts.):

Sei  $s$  der Erwartungswert und sei  $|S_i|$  die tatsächliche Größe von  $S_i$  nach der Phase 1. Dann

$$s = \sum_{k=1}^{\lfloor \frac{n}{2} \rfloor + 1} k \cdot \Pr[|S_i| = k].$$

Die erwartete Anzahl der Schritte (und damit die Kosten) in der BFS sei  $q$ . Dann gilt:

$$q \leq \sum_{k=1}^{\lfloor \frac{n}{2} \rfloor + 1} \Pr[|S_i| = k] \frac{3}{2} k = \frac{3}{2} s.$$

Also ist der Aufwand des Algorithmus für die Phasen 1 und 2 im Erwartungswert  $\leq 3sn$ . Da  $ns = m^*$ , und da die Kosten der anderen Phasen offensichtlich durch  $\mathcal{O}(n + m + m^*)$  beschränkt sind, folgt die Behauptung. □



C.P. Schnorr:

*An algorithm for transitive closure with linear expected time*

SIAM J. Comput. **7**(2), pp. 127–133 (1978)